2017年第18屆亞洲物理奧林匹亞競賽及第48屆國際物理奧林匹亞競賽

國家代表隊複選考試

理論試題

2017年2月11日

13:30~16:30

考試時間:三小時

〈〈注意事項〉〉

- 一、限使用黑色或藍色原子筆作答。
- 二、本試題共有計算題六大題,每題25分,合計150分。
- 三、各計算題請在答案卷上指定之位置作答,每大題答案 卷二頁。
- 四、可使用掌上型計算器(含科學工程式計算機)。

可能用到的數學公式(t為時間,x為任意物理量)

1.
$$x'(t) = \frac{dx}{dt}$$
, $x''(t) = \frac{d^2x}{dt^2} = \frac{d}{dt} \left(\frac{dx}{dt}\right)$

2.
$$\int x^m dx = \frac{x^{m+1}}{m+1} \cdot m \neq -1; \qquad \frac{d}{dx} x^m = m \cdot x^{m-1}$$

3.
$$\frac{d\cos x}{dx} = -\sin x$$
, $\frac{d\sin x}{dx} = \cos x$,

$$\int \sin x \, dx = -\cos x \quad , \qquad \int \cos x \, dx = \sin x$$

4. 當
$$|x| \ll 1$$
, $\frac{1}{\sqrt{1+x}} \approx 1 - \frac{x}{2}$,

5.
$$\exists x \ll 1$$
, $\sin x \approx x$, $\cos x \approx 1 - \frac{x^2}{2}$.

6. 線性、常係數、齊次二階微分方程式 ax''(t) + bx'(t) + cx(t) = 0 的一般解形式為 $x(t) = \alpha_1 e^{s_1 t} + \alpha_2 e^{s_2 t}$,

其中 s_1, s_2 是右列二次方程式 $as^2 + bs + c = 0$ 的根,

而 α_1, α_2 是積分常數,可由初始條件x(0), x'(0)決定。

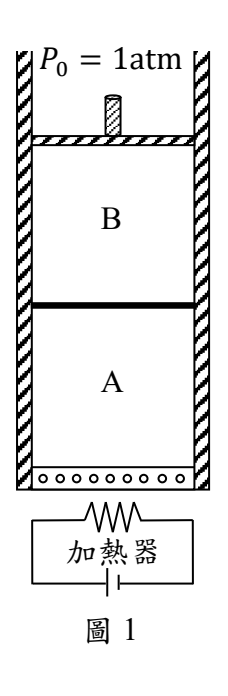
2017年第18屆亞洲物理及第48屆國際物理奧林匹亞競賽 國家代表隊複選考試試題

本試題共有計算題六大題,每題25分,合計150分。

一、理想氣體的受熱膨脹

如圖 1 所示,一個除了底部之外,器壁均為絕熱的氣筒,以一隔板將該筒隔成體積相等的 A、B 兩部分,各裝有 1 mole 初始溫度為 0° C、氣壓為 1 atm 的氮氣。氣筒的頂部為一活塞(亦為絕熱),其上壓力始終保持為 $P_0=1$ atm。今將 80.0 cal 的熱量緩慢地由氣筒底部輸入氣筒。假設氮氣可視為理想氣體,氣體常數 R=8.31 J/mole·K,試求下述兩種情況下,A 和 B 兩部分氣體之壓力、體積、 與溫度的變化量各為若干。

- (A)隔板固定且導熱 (其熱容量可以忽略); (13分)
- (B)隔板可自由滑動 (無摩擦) 且絕熱。(12分)



二、廣義化反射定律與折射定律的推導

我們考慮兩介質之間的介面為一平面。現有一波長為 λ 的平面電磁波,由介質 1 射向介質 2 ,其入射角、反射角及折射角分別為 θ_1 、 θ_1' 及 θ_2 ,如圖 2 所示。

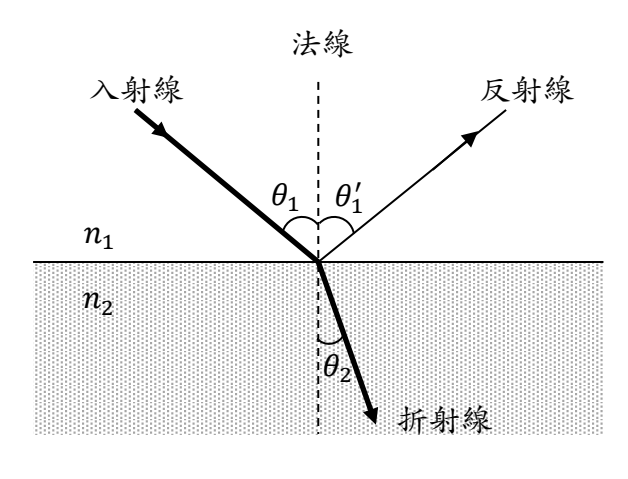
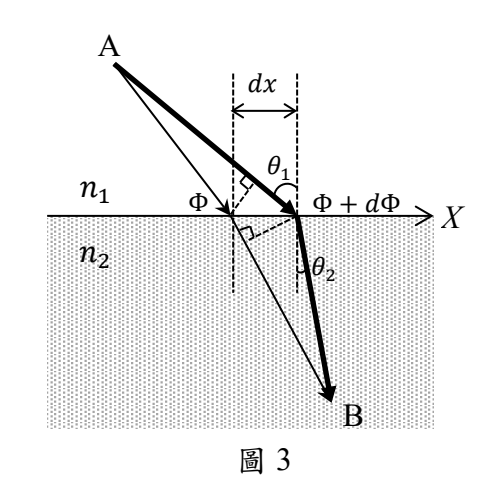


圖 2

已知若此介面是均匀的,則介面對反射波及折射波所造成之相位角變化與入射點的位置無關。當 $n_1 > n_2$ 時,反射波在介面相位角沒有變化;而當 $n_1 < n_2$ 時,反射波在介面的相位角變化為 π 。兩介質的介面在經過適當的設計及處理後,可以使光經介面反射或折射時,皆產生隨X軸座標變化的介面相位變化 $\Phi(x)$,如圖3所示。(設介面上另一軸為Y轴,本題假設相位角的改變與Y轴座標無關,即 $\Phi(x,y) = \Phi(x)$ 。)

- (A)設介面為均勻,用費馬原理(Fermat principle)推導光的反射與折射定律。(6分) (註:費馬原理為光(電磁波)在兩定點之間傳播的路徑是光程取極值的路徑,最初費馬提出時,又名「最短時間原理」:即光傳播的路徑是所需時間最短的路徑。)
- (B)費馬原理乍看之下,頗為神奇且令人費解,例如:光在出發之時,如何探知哪一條路徑是需時最少的?其實,費馬原理的物理機制是電磁波行進的路徑是穩定相位(stationary phase)的路徑,即在兩定點 A 與 B 之間真實路徑(如左圖中之實線)所累積的相位變化 $d\varphi$ 總和實線 $\int_A^B d\varphi(\vec{r})$,與鄰近路徑(如左圖中之虛線)所累積的相位變化



幾乎相同。在本小題中假設 $d\Phi/dx=0$,故得: $_{\hat{g}_{\hat{q}}}\int_{A}^{B}d\varphi(\vec{r})-_{\hat{a}_{\hat{q}}}\int_{A}^{B}d\varphi(\vec{r})\approx0$ 。利用此式及上述提示來證明光的折射定律。 $(4\,\%)$

- (C)假設 $\frac{d\Phi}{dx} \neq 0$,即光在介面反射或折射時,會產生隨 X 軸座標變化的介面相位變化 $\Phi(x)$ 。利用上圖,推導出廣義化反射定律: $\sin\theta_1' \sin\theta_1 = \frac{\lambda}{2\pi n_1} \frac{d\Phi}{dx}$;與廣義化折射定律: $n_2\sin\theta_2 n_1\sin\theta_1 = \frac{\lambda}{2\pi} \frac{d\Phi}{dx}$ 。(5分)
- (D)設 $\frac{d\Phi}{dx} = \frac{2\pi}{\Gamma}$,此處 Γ 為常數。令 $\alpha \equiv \lambda/\Gamma$,通常 $\Gamma > \lambda$,故 $0 < \alpha < 1$ 。
 - (a)求反射光不存在的入射角範圍。(3分)
 - (b)設 $n_1 < n_2$,在什麼情況下會產生全反射?其臨界入射角為何?(7分)

三、磁力顯微儀

掃描探針顯微儀在表面物理的研究上扮演著重要的角色。該儀器有一個微米級懸臂, 懸臂一端固定在一個振盪器上,而在懸空的自由端上則裝有一個凸出的微細針尖。 整個懸臂構成一個彈簧振盪系統,在沒有磁作用力時,探針的運動方程式,可以用 下式表示:

$$M\frac{d^2z}{d^2t} + b\frac{dz}{dt} + kz = F_0e^{i\omega t}$$

其中M為探針系統的質量,b為阻尼係數(假設為弱阻尼),k則為未受磁力作用時之彈力係數, $F_0e^{i\omega t}$ 為上下振動之驅動力。此運動方程式的穩態解形式為 $Z(t)=Ae^{i(\omega t-\phi)}$,其中A為振幅, ϕ 為相位角;振幅及相位角均為驅動角頻率 ω 的函數。如圖 4 所示,掃描磁力顯微儀的探針可視為一個Z方向的小磁矩,針尖與待測表面

維持固定的問距,顯微儀藉由磁作用力可探究待測表面之磁區分布。

磁力顯微儀的工作原理是:探針受到待測物體表面磁場作用而帶有「磁位能」 $U=-mH_z$, m為磁矩, H_z 為Z點的磁場強度。由於磁場強度隨距離改變,探針會受到一個沿Z方向的非均勻磁力,因而造成懸臂共振角頻率之變化。當針尖掃描過待測物表面時,系統會將共振角頻率的變化轉換成亮暗對比:共振角頻率上升時呈現「亮」階;相反時則呈現「暗」階。共振角頻率的變化,也會造成振幅與相位角的改變,所以磁力顯微儀可以利用共振角頻率、相位角與振幅的變化作為偵測的機制。由以上所述,回答下列各問題。

- (A)令 $\omega_0 = \sqrt{k/M}$,求出探針在未受磁作用力時,其振幅與相位角對驅動角頻率的關係式。 $(6\ \mathcal{G})$
- (B)承上子題,求共振(振幅最大)角頻率(準確到b的一階)。(4分)
- (C)假設 $H_z = az^2$,其中a為正的常數。在弱阻尼情況下 $(b \to 0)$,若以共振角頻率變化作為偵測磁作用力的機制,試推導共振角頻率變化量 $(\Delta\omega)$ 與 $m \times \omega_0 \times a$ 和z的函數關係(準確到a的一階)。(9 分)

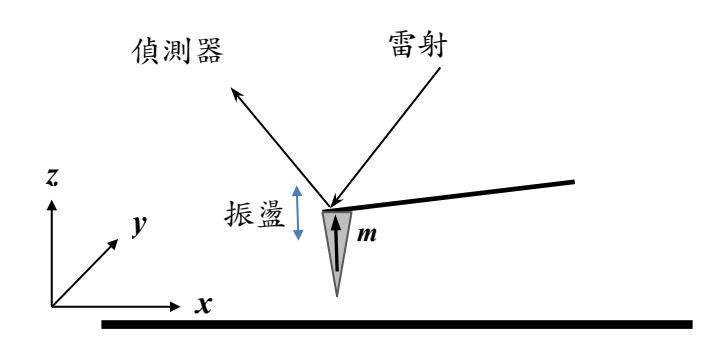


圖 4:掃描探針示意圖,因為懸臂受到外部驅動,造成探針上下振 盪;相關變化量之資訊,則可由反射的雷射光分析得知。

(D)承上子題,偵測一表面上帶電流i之導線組,掃描時固定探針之高度z,且z 《 x_0, l_0 ,如圖 5 所示。標示圖 5 中I、II 和 III 等三區為亮階或暗階 ? (6 分)

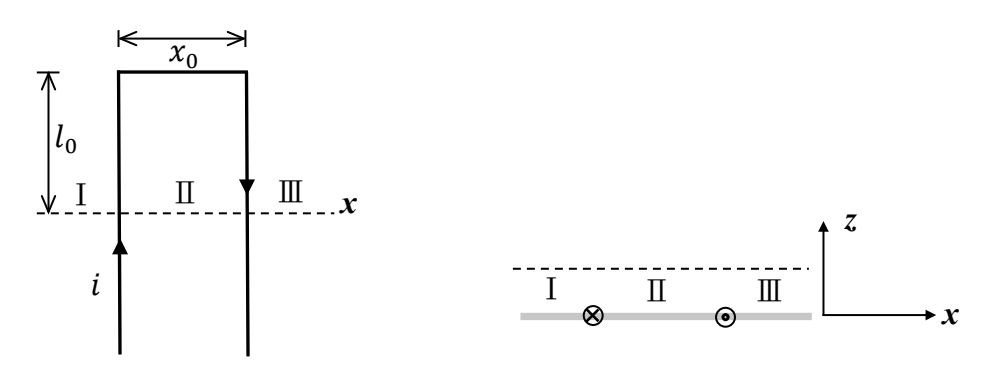


圖 5: 左圖為俯視圖,虛線為探針掃描路徑; 右圖為側視圖,虛線表示固定的掃描高度。

四、帶有滑動的滾動

假設水平地面與直角座標系之xy平面重合,且在此地面上有一個質量為m、半徑為R的均勻圓球。在時刻t=0時,球從座標原點 O 開始做帶有滑動的滾動運動,球繞質心轉動之角速度 $\vec{\omega}_0=\omega_0(\hat{x}+\hat{y})/\sqrt{2}$,球之質心速度 $\vec{v}_0=\sqrt{2}\omega_0R\hat{y}$ 。此外,球繞質心之轉動慣量為 $I=mk^2=2mR^2/5$,球與地面間的動摩擦係數為 μ_k ,重力加速度為 $-g\hat{z}$ 。

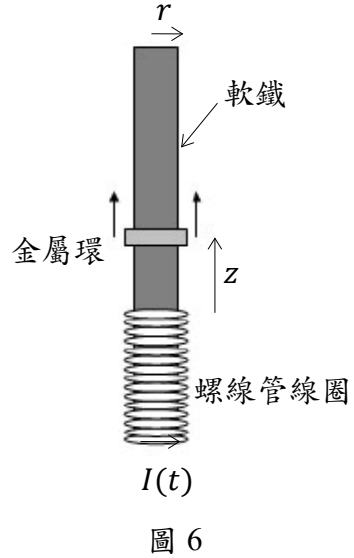
假設在時刻t>0時,圓球之質心速度向量為 $\vec{v}=v_x\hat{x}+v_y\hat{y}$,轉動角速度向量為 $\vec{\omega}$,而圓球底部之速度向量為 $\vec{u}=u\hat{u}$,其中 \hat{u} 為與球底速度 \vec{u} 同向之單位向量。

- (A)試求出圓球底部之初始速度 \vec{u}_0 之量值 u_0 與方向 \hat{u}_0 。(6分)
- (B)寫出圓球有滑動時,其質心的運動方程式與繞質心轉動的運動方程式。(4分)
- (C)試求出圓球有滑動時, ü隨時間t變化的函數。(5分)
- (D)試求出圓球開始做純滾動之時刻T。(3 分)
- (E)試求出 $0 < t \le T$ 時的質心速度 $\vec{v}(t)$,並求出圓球開始做純滾動時,其底部之位置 $\vec{r}_T = x_T\hat{x} + y_T\hat{y}$ 。(7分)

五、湯姆生磁浮金屬環

如圖 6 所示,一通有電流I(t)之螺線管線圈,將磁場經由 圓柱形軟鐵導入z>0區域。一個套住軟鐵之金屬環可以 透過螺線管所產生磁場之作用而浮在 $z=z_0$ 處。若螺線管 線圈與金屬環半徑均為a,線圈數為N,軟鐵的磁導率為 μ , 金屬環的電阻為R,自感為L,試回答以下問題。

- (A)由於軟鐵是圓柱形,可假設磁場只有沿Z軸與徑向r之分量: B_z 與 B_r 。
 - (a)已知對固定z值, $B_z(z,r) \approx B_z(z,0)$,若忽略螺線管長度,試計算 $B_z(z,r)$,並由此求出金屬環與螺線管線圈間的互感M(z)。(6分)
 - (b)考慮通過長度為 $dz \ll 1$ 、半徑為r之圓柱面(包括兩端之截面)之磁通量,求 B_z 與 B_r 之關係,由此計算 $B_r(z,r)$ 。(5分)

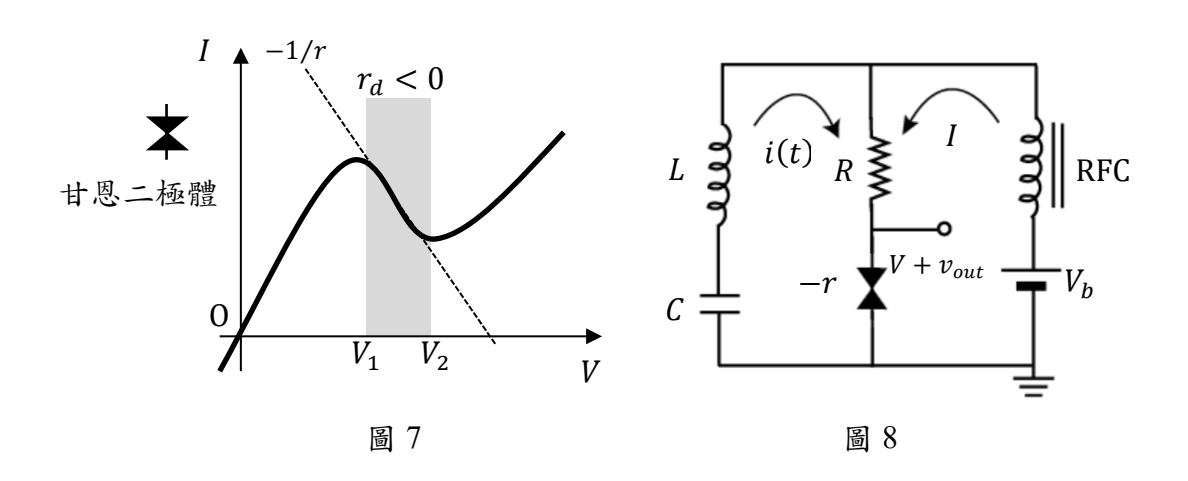


- (B)已知螺線管線圈中電流為 $I(t) = I(z)\sin \omega t$ (以逆時針方向為正),假設t時刻時,金屬環中之電流已達到穩態。
 - (a)試求t時刻時,金屬環中之電流值(以M(z)、L(z)、I(z)、R表示)。若此電流與螺線管線圈中電流之相位差為 δ ,試求 $\tan\delta$ 。(6分)
 - (b)已知螺線管線圈的電阻為 R_0 ,自感為 L_0 。金屬環之電阻R,相較於螺線管線圈的電阻 R_0 可忽略不計。若將螺線管線圈接上一交流電源,其電動勢為 $\varepsilon(t) = V_0\cos\omega t$,試求螺線管線圈中電流值振幅 $I(z)(以R_0 \setminus L_0 \setminus L \setminus V_0 \setminus \omega \mu M(z)$ 表示)。在一般的情形下 $L_0L > M^2(0)$,試說明I(z)隨Z增加的變化趨勢,是遞增還是遞減? (8分)

六、甘恩振盪電路

甘恩二極體(Gunn diode)為一種轉移電子元件,一般可由砷化鎵半導體材料製作而成。此二極體會展現獨特的非線性I-V(電流-電壓)關係,如圖 7 所示。甘恩二極體最奇特之性質為:在適當的操控條件下,如在圖 7 使二極體之端電壓介於 V_1 與 V_2 間,此元件可出現負微分電阻的現象,即 $r_d \equiv dV/dI < 0$ 。負微分電阻表示對該工作點附近的交流訊號而言,元件不但不損耗能量,反而會回饋能量到電路系統中。由於甘恩二極體具有這個特殊的性質,它被廣泛應用於製作微波至太赫茲波(THz)產生器。圖 8 為一簡化之甘恩振盪電路。在電路的右半邊,甘恩二極體與一串接電阻R透過一射頻阻軛器(RFC)連接至一直流電壓源 V_b 。此處射頻阻軛器為一保護元件,用於阻隔射頻交流電流進入直流電壓源。電路之左半部為一LC振盪電路,可產生交流電流 i(t)。此處假設射頻阻軛器的能量損耗可忽略; $r_d = -r(r > 0)$,在電壓 V_1 與 V_2 區間內r為一常數;甘恩二極體兩端的直流電壓為V,交流電壓為 $v_{out}(t)$ 。回答以下問題:

- (B)說明使電路產生振盪的條件, 並求出振盪頻率。(6分)
- (C)振盪產生時,LC電路部分兩端的電壓降為 $v_{in}(t)$ (可視為一交流訊號輸入源),考慮 $\sqrt{L/C}\gg R$,試求此時的 v_{out}/v_{in} (此為電壓增益)。(3分)
- (D)考慮電路振盪時,將二極體的直流電壓固定在 $V = (V_2 V_1)/2$,試求甘恩二極體運作時所消耗的總功率。 $(7 \, \hat{G})$



2017年第18屆亞洲物理及第48屆國際物理奧林匹亞競賽 國家代表隊複選試題參考解答

第1題評分標準:

| 小題 | 內容 | 得 | 備 |
|------|---|---|---|
| 1 ~ | | 分 | 註 |
| () | | | 缸 |
| (a) | 寫出理想氣體方程式 $P_0V_{A0} = P_0V_{B0} = RT_0$, | 2 | |
| 13 分 | 算出 $V_{A0} = V_{B0} = 22.5L$ 。 | | |
| | 寫出熱力學第一定律: $\Delta U_{A+B} = 5R\Delta T = Q - W$ 。 | 3 | |
| | 算出 $W = R\Delta T$ 。 | 2 | |
| | 求出 A、B 的溫度變化ΔT = 6.71K。 | 2 | |
| | 求出 A 部分的壓力P _A = 2480Pa。 | 2 | |
| | 求出 B 部分的體積 $\Delta V_{\rm B}=0.552 { m L}$ 。 | 2 | |
| (b) | 寫出熱力學第一定律: $\Delta U_{\rm A} = Q - W$, | 3 | |
| 12 分 | $(5R/2)\Delta T_{\rm A} = 80.0 \times 4.18 - P_0(\Delta V_{\rm A}) \circ$ | | |
| | 由理想氣體方程式: $(7R/2)\Delta T_{\rm A}=80.0 	imes 4.18$ 。 | 3 | |
| | 求得 $\Delta T_{\rm A} = 11.5 { m K}$ 。 | | |
| | 求出 $\Delta V_{\rm A}=0.946$ L。 | 2 | |
| | | | |
| | 求出 $\Delta P_{\rm A} = \Delta P_{\rm R} = 0$ 。 | 2 | |
| | 1-11-14 - A - B 0 | _ | |
| | | | |
| | 求出 $\Delta V_{\mathrm{B}}=0$; $\Delta T_{\mathrm{B}}=0$ 。 | 2 | |

第2題評分標準:

| 小題 | 內容 | 得分 | 備註 |
|---------------|--|----|----|
| (A) | 寫下 A 點經由 P 點至 B 點的光程: | 1 | |
| 6分 | $f(x_1) = \frac{\sqrt{h_1^2 + x_1^2} + \sqrt{h_1'^2 + (d - x_1)^2}}{(\lambda/n_1)} \circ$ | | |
| | | | |
| | 由 $f'(x_1) = 0$ 得到 $\frac{x_1}{\sqrt{h_1^2 + x_1^2}} - \frac{d - x_1}{\sqrt{h_1'^2 + (d - x_1)^2}} = 0$ 。 | 2 | |
| | N N | | |
| | $\operatorname{Fr} \sin \theta_1 = \sin \theta_1'$ | 1 | |
| | 寫下A點經由P點至B點的光程: | 1 | |
| | $f(x_1) = \frac{\sqrt{h_1^2 + x_1^2}}{(\lambda/n_1)} + \frac{\sqrt{h_2^2 + (d - x_1)^2}}{(\lambda/n_2)} \circ$ | | |
| | 由 $f'(x_1) = 0$ 得到 $\frac{n_1x_1}{\sqrt{h_1^2 + x_1^2}} - \frac{n_2(d-x_1)}{\sqrt{h_2^2 + (d-x_1)^2}} = 0$ 。 | 2 | |
| | $\mathbb{F}n_1\sin\theta_1 = n_2\sin\theta_2 \circ$ | | |
| (B) 4分 | 寫出相鄰兩路徑的光程差: | 2 | |
| | $_{rac{\pi}{2}}rak{\pi}^{B}darphi(ec{r}){ar{k}}\int_{A}^{B}darphi(ec{r})$ 。 | | |
| | 由穩定相位條件得到 $\frac{2\pi dx \sin\theta_1}{(\lambda/n_1)} + \frac{2\pi dx \sin\theta_2}{(\lambda/n_2)} = 0$ 。 | 2 | |
| | $\mathbb{P}n_1\sin\theta_1 = n_2\sin\theta_2 \circ$ | | |
| (C) | 寫出折射時相鄰兩路徑的光程差,並由穩定相位 | 3 | |
| 5分 | 條件得到 $\frac{2\pi dx \sin\theta_1}{(\lambda/n_1)} + \frac{2\pi dx \sin\theta_2}{(\lambda/n_2)} + d\Phi = 0$, | | |
| | $\mathbb{P} \ n_2 \sin\theta_2 = n_1 \sin\theta_1 + \frac{\lambda}{2\pi} \frac{d\Phi}{dx} \circ$ | | |
| | 寫出反射時相鄰兩路徑的光程差,並由穩定相位 | 2 | |
| | 條件得到 $\frac{2\pi dx \sin\theta_1'}{(\lambda/n_1)} + \frac{2\pi dx \sin\theta_1}{(\lambda/n_1)} + d\Phi = 0$, | | |
| | $\mathbb{P} \ n_1 \sin \theta_1' = n_1 \sin \theta_1 + \frac{\lambda}{2\pi} \frac{d\Phi}{dx} \circ$ | | |
| (D)(a) 3 分 | 由 (c) 中廣義化反射定律得: $\sin \theta_1' = \sin \theta_1 + \alpha$ 。 | 1 | |
| | 求出反射光的條件: $\theta_1 > \sin^{-1}(1-\alpha)$ 。 | 2 | |
| (D)(b) | 由廣義化折射定律得: $n_2 \sin \theta_2 = n_1 \sin \theta_1 + \alpha$ 。 | 1 | |
| 7分 | 求出 $n_1 < n_2$ 時有全反射的條件: | 4 | |
| | $n_2 - \alpha < n_1$, $\mathbb{E}\theta_1 > \sin^{-1}[(n_2 - \alpha)/n_1]$ | | |
| | 求出臨界入射角 $\theta_{\rm c}=\sin^{-1}[(n_2-lpha)/n_1]$ 。 | 2 | |

第3題評分標準:

| 小題 | 內容 | 得分 | 備註 |
|-----------|---|----|----|
| (a) | 將穩態解Ae ^{i(ωt-φ)} 帶入微分方程式 | 2 | |
| 6分 | $M\frac{d^2z}{d^2t} + b\frac{dz}{dt} + kz = F_0e^{i\omega t}$ | | |
| | | | |
| | 得 $\{-M\omega^{2+bi\omega}+k\}Ae^{i(\omega t-\phi)}=F_0e^{i\omega t}$ 。 | | |
| | 求出 $A(\omega) = \frac{F_0/M}{\sqrt{(\omega_0^2 - \omega^2)^2 + (b/M)^2 \omega^2}}$ 。 | 2 | |
| | $\sqrt{(\omega_0^2 - \omega^2)^2 + (b/M)^2 \omega^2}$ | 2 | |
| | 求出 $\phi = \tan^{-1} \frac{(b\omega/M)}{(\omega_0^2 - \omega^2)}$ 。 | 2 | |
| (b) 4分 | 振幅最大時之角頻率: $\frac{dA(\omega)}{d\omega}=0$ 。 | 2 | |
| | $\omega_r = \sqrt{\omega_0^2 - (b^2/2M^2)} \approx \omega_0$ ° | 2 | |
| (c) 9分 | 寫出受磁力後之共振角頻率 $\omega_1 = \sqrt{\frac{k_1}{M}} = \sqrt{\frac{k - \partial F_z/\partial z}{M}}$ 。 | 2 | |
| | 寫出共振角頻率的變化 | 1 | |
| | $\Delta\omega = \sqrt{\frac{k_1}{M}} - \sqrt{\frac{k}{M}} = \omega_0 \left(\sqrt{1 - \frac{\partial F_z/\partial z}{k}} - 1 \right) \circ$ | | |
| | 展開到 $\partial F_z/\partial z$ 的一階得 $\Delta\omega \cong -\omega_0(\partial F_z/\partial z)/(2k)$ 。 | 2 | |
| | 由 $U = -mH_z$,求出探針受到的磁力 $F_z = m \partial H_z/\partial z$ 。 | 2 | |
| | 求出 $\Delta\omega \cong -\frac{\omega_0 m}{2k} \left(\frac{\partial^2 H_z}{\partial z^2}\right) = -\frac{\omega_0 ma}{k}$ 。 | 2 | |
| (d) 6分 | 寫出 $H_z \propto -\left\{\frac{x}{x^2+z^2} + \frac{x_0-x}{(x_0-x)^2+z^2}\right\}$ | 2 | |
| | | 1 | |
| | 判斷區域【為亮階 | 1 | |
| | 判斷區域II為暗階 | 1 | |
| | 判斷區域 III 為亮階 | 1 | |

第4題評分標準:

| 小題 | 內容 | 得分 | 備註 |
|------------|--|----|----|
| (a) | 寫出圓球底部之速度 \vec{u} 為 $\vec{u} = \vec{v} + \vec{\omega} \times (-R\hat{z})$ 。 | 2 | |
| 6分 | 代入初值條件,求得 $\vec{u}_0 = \omega_0 R(-\hat{x} + 3\hat{y})/\sqrt{2}$ 。 | 2 | |
| | $u_0 = \sqrt{5}\omega_0 R \circ$ | 1 | |
| | $\hat{u}_0 = (-\hat{x} + 3\hat{y})/\sqrt{10} \circ$ | 1 | |
| (b) 4分 | 寫出圓球質心的運動方程式 $m\frac{d}{dt}\vec{v} = \vec{F} = -\mu_k mg\hat{u}$ 。 | 2 | |
| | 寫出圓球繞質心轉動的運動方程式 | 2 | |
| | $mk^2 \frac{d}{dt} \vec{\omega} = \vec{\tau} = (-R\hat{z}) \times \vec{F} = \mu_k mgR\hat{z} \times \hat{u}$ | | |
| (c) 5分 | 寫出 $\frac{d\vec{u}}{dt} = \frac{d\vec{v}}{dt} + \frac{d\vec{\omega}}{dt} \times (-R\hat{z})$ | 1 | |
| | 求出 $\frac{d\vec{u}}{dt} = -\mu_{\rm k}g\left(1 + \frac{R^2}{k^2}\right)\hat{u}$ | 2 | |
| | 求出 $\vec{u}(t) = (u_0 - \gamma \mu_k gt)\hat{u}_0$ 。 | 2 | |
| (d) 3 分 | 求出圓球開始做純滾動之時刻 $T = \frac{2\sqrt{5}\omega_0R}{7\mu_{\mathbf{k}}g}$ 。 | 3 | |
| (e) | 將(b1)式對時間積分一次得: $\vec{v}(t) = \vec{v}_0 - \mu_k gt \hat{u}_0$ 。 | 2 | |
| 7分 | 再次積分得 $\vec{r}(t) = \vec{v}_0 t - \frac{1}{2} \mu_k g t^2 \hat{u}_0$ 。 | 2 | |
| | 帶入初值條件(a2)與(a3)得 | 1 | |
| | $\vec{r}_T = \vec{r}(T) = \frac{u_0}{\gamma \mu_k g} \left(\vec{v}_0 - \frac{u_0}{2\gamma} \hat{u}_0 \right) \circ $ | | |
| | 求出 $\vec{r}_T = \frac{\sqrt{10}(\omega_0 R)^2}{49\mu_k g} (\hat{x} + 11\hat{y})$ 。 | 2 | |

第5題評分標準:

| 小題 | 內容 | 得分 | 備註 |
|--------------|--|----|----|
| (A)(a) 6分 | 求出圓形線圈中央之磁場為 $\frac{\mu i a^2}{2(a^2+z^2)^{3/2}}$ | 2 | |
| | 求出通過金屬環之磁通量為: $\Phi = \frac{\mu N \pi a^4}{2(a^2 + z^2)^{3/2}} I(t)$ | 2 | |
| | 求出互感 $M(z) = \frac{\mu N \pi a^4}{2(a^2 + z^2)^{3/2}}$ | 2 | |
| (A)(b) 5分 | 列出通過長dz、半徑r之圓柱面(包括兩端之截面)之磁通 | 2 | |
| 3 71 | 量為零 | | |
| | $dz2\pi r B_r(z,r) + \pi r^2 B_z(z+dz,r) - \pi r^2 B_z(z,r) = 0$ 得出 $B_r(z,r) = -\frac{r}{2} \frac{\partial B_z(z,r)}{\partial B_z(z,r)}$ | 2 | |
| | 得出 $B_r(z,r) = -\frac{r}{2} \frac{\partial B_z(z,r)}{\partial z}$ 求出 $B_r(z,r) \approx \frac{3\mu NI(t)a^2zr}{4(a^2+z^2)^{5/2}}$ | 1 | |
| (B)(a) | 寫出金屬環中之感應電動勢-M(z)ω cos ωt I(z) | 1 | |
| 6分 | 用 Kirchoff's law 寫下電路方程式: | 2 | |
| | $Ri + L\frac{di}{dt} = -M(z)\omega\cos\omega t I(z)$ | | |
| | 求出 $i(t) = -\frac{M\omega I(z)}{R^2 + \omega^2 L^2} [R\cos\omega t + \omega L\sin\omega t]$ 求出 $\tan\delta = \frac{R}{\omega L}$ | 2 | |
| | 求出 $\tan \delta = \frac{R}{\omega L}$ 。 | 1 | |
| (B)(b) 8分 | 寫出螺線管及金屬環中之電路方程式: | 3 | |
| | $(i\omega L_0 + R_0)i_1 + i\omega Mi_2 = V_0 ;$ | | |
| | $i\omega M i_1 + (i\omega L)i_2 = 0 \circ$ | | |
| | 求出 $I(z) = \frac{V_0}{\sqrt{R_0^2 + \omega^2 L_0^2 \left(1 - \frac{M^2}{LL_0}\right)^2}}$ | 3 | |
| | 說明I(z)隨z增加而遞減 | 2 | |

第6題評分標準:

| 小題 | 內容 | 得分 | 備註 |
|-----------|---|----|----|
| (a) | 用 Kirchoff's law 寫下左半邊的電路方程 | 2 | |
| 9分 | 式: $\frac{\int idt}{c} + L\frac{di}{dt} + R(I+i) + [V_1 - r(I+i)] = 0$ | | |
| | 說明直流分量抵消: $RI + (V_1 - rI) = 0$ | 1 | |
| | 微分求得二階微分方程式: | 1 | |
| | $L\frac{d^2i}{dt^2} + (R - r)\frac{di}{dt} + \frac{i}{C} = 0$ | | |
| | 寫出微分方程式的一般解: | 2 | |
| | $i(t) = \alpha_1 e^{(-\xi + s)t} + \alpha_2 e^{(-\xi - s)t}, \ s = \sqrt{\xi^2 - \omega_0^2}$ | | |
| | 带入初始條件i(0) = 0,i'(0) = α求得電流: | 3 | |
| | $i(t) = (\alpha/s)e^{-\xi t}\sinh(st)$ | | |
| (b) 6分 | 寫出第1個產生振盪的條件(電路能量不損耗): | 2 | |
| 0 31 | $\xi \le 0 \Rightarrow R \le r \circ$ | 2 | |
| | 寫出第2個產生振盪的條件(s是純虛數): | 2 | |
| | $<\omega_0 \Rightarrow R < r + 2\sqrt{L/C}$ | 2 | |
| | 求出振盪頻率: $\omega = \sqrt{\omega_0^2 - \xi^2}$ | 2 | |
| (c) 3分 | 寫出 $v_{\text{out}}/v_{\text{in}} = r/(r-R)$ | 4 | |
| (d) | 說明振盪交流電壓振幅最大為 $(V_2 - V_1)/2$,振 | 1 | |
| 7分 | 幅超過時 r_a 變成正值, 振盪振幅飽和。 | | |
| | 求出 $P_{DC}^{Gunn} = [(V_2 - V_1)/$ | 3 | |
| | $2]\{[V_b - (V_2 - V_1)/2]/R\}$ | | |
| | 求出 | 3 | |
| | $P_{\text{AC}}^{\text{Gunn}} = \langle (\Delta V)(\Delta I) \rangle = \langle iv \rangle = -(V_2 - V_1)^2 / (8r)$ | | |